

پیش‌بینی دمای سطح سنگزنان خزشی با استفاده از منطق فازی و به کمک روش هدایت حرارتی معکوس (IHCP)

محمد صدیقی^۱, علیرضا بابائی^۲, داود افشاری^۳

چکیده

هدف از این تحقیق، محاسبه دمای سطح قطعه کار حین سنگزنان خزشی به کمک روش هدایت حرارتی معکوس و تاریخچه دمایی و پیش‌بینی دمای سطح با استفاده از مدل منطق فازی است. به دلیل عدم امکان دسترسی به ناحیه برش و پاشش مایع خنک کار با سرعت بالا بر این ناحیه، امکان اندازه‌گیری تجربی دمای سطح سنگزنان وجود ندارد. بنابراین باید از طریق اندازه‌گیری دما در زیر سطح سنگزنان در گام‌های زمانی معین و بکارگیری روش‌های محاسباتی ویژه و تلفیق آنها با مباحث انتقال حرارت، دمای سطح سنگزنان تخمین زده شود. در این تحقیق دمای زیر سطح سنگزنان حین سنگزنان خزشی قطعه کار از جنس سوپرآلیاژ پایه کبات بوسیله سه عدد ترموموکوپل به صورت تجربی اندازه‌گیری شد و سپس به کمک روش هدایت حرارتی معکوس و تاریخچه دمایی ثبت شده تجربی، دمای سطح سنگزنان محاسبه شد. در ادامه با استفاده از اطلاعات تجربی و منطق فازی مدلی برای پیش‌بینی دمای سطح سنگزنان ایجاد گردید. نتایج حاصل میانگین خطای حدود ۳ درصد در مقادیر پیش‌بینی شده توسط مدل پیشنهادی را نشان می‌دهد.

کلمات کلیدی: سنگزنان خزشی- منطق فازی- هدایت حرارتی معکوس- پیش‌بینی دما- ترموموکوپل

فهرست علامت

عمق برش	a (mm)	جدول(۱)	دما بی بعد	T^+	رابطه (۹)
سطحی که شار حرارتی	A (mm ²)	رابطه (۱۱)	دما محيط آزمایش	T_0 (°C)	رابطه (۲)
سطحی بر آن اثر دارد	K (W/m.k)	رابطه (۱۱)	سرعت چرخش چرخ سنگزنانی	V_s (m/s)	رابطه (۱)
رسانندگی گرمایی(۱۴/۵)	M	رابطه (۱)	سرعت پیشروی	V_w (mm/s)	رابطه (۱)
اندیس شماره گام زمانی	q (W/m ²)	رابطه (۱)	گام زمانی λ_m	λ_i	رابطه (۲)
شار حرارتی سطحی	r	رابطه (۲)	طول گام زمان	$\Delta\lambda$ (sec)	رابطه (۱)
متغیر مکان	t	رابطه (۲)	میزان افزایش دما بر اثر افزایش شار	ϕ	رابطه (۲)
متغیر زمان	t^+	رابطه (۹)	حرارتی سطحی		
زمان بی بعد (عدد فوریه)					

۱- دانشیار دانشگاه علم و صنعت ایران - داشتکده مکانیک

۲- دانشجوی کارشناسی ارشد دانشگاه علم و صنعت ایران

۳- دانشجوی دکترا دانشگاه علم و صنعت ایران

۱- مقدمه

طولانی در زمانهای بسیار کوتاه، روش‌های مبتنی بر هوش مصنوعی در مدلسازی فرایندهای تولید و پیش‌بینی پارامترهای خروجی مورد توجه محققین قرار گرفته است [۲، ۱].
کوریاگاوا [۳] با اندازه‌گیری دمای زیر سطح سنگزنان خرزی پیشروی ابزار و قطر سنگ پرداخته و پارامترهای بهینه جهت سنگزنان خرزی قطعه سرمتی (Ti(C,N)) را معرفی کرد. جین [۴] در بررسی خود بر روی دمای سطح قطعه کار در عملیات سنگزنان خرزی به این نتیجه رسید که عدمه دمای تولید شده در این عملیات (حدود ۹۰٪) توسط مایع خنک‌کاری منتقل می‌شود. کیم و همکارانش [۴] جهت بررسی توزیع شار دمایی و دمای سطح قطعه کار در سنگزنان خرزی از روش هدایت گرمایی معکوس استفاده نمودند. زهنگ [۱] از منطق فازی برای پیش‌بینی شرایط کاری فرایند سنگزنان که در آن سوختگی سطحی در قطعه کار حاصل می‌شود، در جهت بهینه سازی این فرایند، استفاده کرد. نیبل گیندی [۵] منطق فازی را برای تشخیص الگوی سیگنالهای آکوستیک امیشنسی در پیش‌بینی سوختگی سطح در سنگزنان به کار برد. فو و وانگ [۲] با استفاده از شبکه عصبی نتایج بسیار جالبی را در پیش‌بینی نیرو و دمای حاصل از سنگزنان خرزی بدست آوردند.
در این تحقیق از طریق آزمایش‌های تجربی در شرایط مختلف پارامترهای کاری فرایند، دمای ۲ mm پائین‌تر از سطح سنگزنان اندازه‌گیری شد و سپس به کمک روش هدایت حرارتی معکوس و تاریخچه دمای ثبت شده تجربی، دمای سطح سنگزنان محاسبه شده است. در ادامه با استفاده از منطق فازی و اطلاعات تجربی، مدلی برای پیش‌بینی دمای سطح سنگزنان ایجاد گردید. نتایج بدست آمده از این تحقیق نشان داد که مدل رائمه شده دارای دقت و توانایی بالایی در پیش‌بینی دمای سطح سنگزنان می‌باشد.

۲- آزمایش‌های تجربی

در این تحقیق، مقادیر تجربی دما از فرایند سنگزنان خرزی قطعاتی از جنس سوپر آلیاژ پایه کبالت (MAR-M-509) بوسیله دستگاه سنگزنان خرزی ELB-SCHLFE CNC و چرخ سنگزنان اکسید آلومینیوم به قطر ۱۶۹ mm و با استفاده از ۳

فرایند سنگزنان خرزی^۱ به دلیل قابلیت در ایجاد سطوح دقیق با صافی سطح بالا در صنایع هواضما کاربرد وسیعی دارد. از مزایای این روش، ماشینکاری مواد سخت و فوق سخت می‌باشد. با وجود مزایای مذکور، این فرایند دارای یک محدودیت ذاتی می‌باشد و آن بهره‌وری پایین این عملیات می‌باشد. راهکار بهبود بهره‌وری، افزایش عمق برش و سرعت پیشروی سنگ می‌باشد. اما با افزایش این دو پارامتر در ناحیه برش میان ابزار و قطعه کار، دما نیز افزایش می‌یابد. بنابراین باید این دو پارامتر به نحوی انتخاب شوند که علاوه بر دستیابی به حجم برآده برداری مناسب، باعث افزایش بیش از حد دمای سطح سنگزنان نشوند. با دانستن میزان دمای سطح سنگزنان و کنترل دمای این ناحیه از طریق بهینه نمودن پارامترهای ورودی موثر بر دما می‌توان از بروز آسیب‌های حرارتی و سوختگی سطح و همچنین آسیب رسیدن به چرخ سنگزنان جلوگیری نمود که این مطلب خود بیانگر اهمیت ویژه دمای سطح سنگزنان می‌باشد. از آنجا که امکان اندازه‌گیری تحریبی دمای سطح سنگزنان به دلیل عدم امکان دسترسی به ناحیه برش و پاشش مایع خنک‌کار حین عملیات مگر با استفاده از تجهیزات خاص وجود ندارد، بنابراین تنها راه ممکن جهت تخمین دما در این منطقه استفاده از روش‌های محاسباتی ویژه می‌باشد.
با توجه به اهمیت موضوع، پیش‌بینی دمای سطح سنگزنان پیش از انجام عملیات همواره یکی از موضوعات مورد علاقه محققین و صاحبان صنایع بوده است و تحقیقات بسیار زیادی در این زمینه صورت گرفته است. بدیهی است که پیش‌بینی و مدلسازی یک فرایند می‌تواند موجب صرفه‌جویی بسیار زیادی در هزینه‌های اقتصادی و زمان گردد. با توجه به ماهیت پیچیده دمای سطح سنگزنان، روش‌های مبتنی بر تجزیه و تحلیل آماری و ارائه فرمول‌های خطی بر اساس پارامترهای کاری فرایند، دارای قابلیت اطمینان مناسبی در پیش‌بینی این پارامترها نمی‌باشد. فرمول‌های ارائه شده در این خصوص تنها در محدوده‌های خاصی دارای دقت مناسبی می‌باشند و امکان پیش‌بینی دمای سطح با دقت مناسب در تمامی شرایط سنگزنان را دارا نمی‌باشند. با پیشرفت تکنولوژی و امکان محاسبات

حاکم نمی‌باشد که این ناپایداری باعث ایجاد نوسانات و ناپایداری‌هایی در پارامترهای خروجی ماشینکاری از جمله دمای سطح سنگزنانی می‌شود. بنابراین سعی بر آن است که اندازه‌گیری دما در نواحی پایدار انجام پذیرد که بر اساس همین اصل هر چه چرخ سنگزنانی به سمت انتهای قطعه کار نزدیک می‌شود، فاصله میان ترموموکوپل‌ها نیز کاهش می‌یابد (شکل ۱). یکی از مهمترین کارهای انجام شده در این مطالعه، تقسیم طول سنگزنانی به بازه زمانی مناسب و استخراج دماهای اندازه‌گیری شده توسط ترموموکوپل‌ها در هر گام زمانی می‌باشد که گام زمانی و دمای اندازه‌گیری شده در هر گام به عنوان داده در روش معکوس مورد استفاده قرار گرفت.



شکل (۱): نحوه قرار گرفتن ترموموکوپل‌ها در قطعه کار

۱-۳- تئوری دوهامل

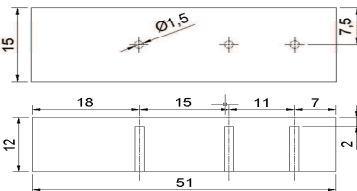
برای استخراج معادلات هدایت حرارتی معکوس، از تئوری دوهامل^۳ استفاده شده است [۷]. تئوری دوهامل بیان می‌کند که شار حرارتی واردہ به قطعه کار تنها تابع زمان می‌باشد و در هر گام زمانی متغیر است. طبق این تئوری، شار حرارتی واردہ به سطح در کل زمان هر گام زمانی جهت بدست آوردن معادلات مدل نظر نمی‌باشد بلکه تنها شار حرارتی در نقطه میانی هر بازه زمانی مدل نظر است. در اینجا شار حرارتی تنها تابع زمان می‌باشد و در هر گام زمانی متغیر است بنابراین اثری که شار در هر گام بر دما می‌گذارد، مدل نظر می‌باشد. بازه زمانی که شار در آنها تغییر می‌کند بصورت صفر تا $\lambda_1, \lambda_2, \dots, \lambda_{M-1}, \lambda_M$ تا t_M می‌باشد.

شار حرارتی واردہ به سطح در بازه زمانی M برابر است با:

$$q_M = q(\lambda_{M-\frac{1}{2}}) = q(M - \frac{1}{2})\Delta\lambda \quad (1)$$

عدد ترموموکوپل نوع ۲ میلیمتری زیر سطح قطعه کار با فاصله مشخص از یکدیگر استخراج شده است. کلیه آزمایشات تجربی در شرکت صها انجام شد. علت انتخاب این ماده کاربرد وسیع این ماده در صنایع هوانپا می‌باشد.

برای اندازه‌گیری دمای زیر سطح، تعداد ۲۷ قطعه کار به ابعاد $12 \times 15 \times 51$ میلیمتر با استفاده از پارامترهای ماشینکاری مشخصی سنگزنانی شد. پارامترهای ماشینکاری متغیر در نظر گرفته شده در این مطالعه عبارتند از: سرعت چرخش سنگ، سرعت پیش روی قطعه کار و عمق برش که در هر پارامتر ۳ اندازه مختلف در نظر گرفته شد. کلیه تست‌های سنگزنانی با استفاده از مایع خنک کاری پایه آبی ایزوگرین انجام شده است. در ابتدای عملیات سنگزنانی بدليل درگیری کامل چرخ سنگزنانی با قطعه کار، تعادل نیرویی مناسبی بر فرآیند سنگزنانی



۳- تئوری روش هدایت حرارتی معکوس

روش هدایت گرمایی معکوس (IHCP²) عبارتست از تخمین تاریخچه شار حرارتی سطحی بر اساس تاریخچه دمایی اندازه‌گیری شده درون جسم هادی. دلیل بکار بردن کلمه تخمین، وجود خطاهایی است که در اندازه‌گیری تجربی دما اتفاق می‌افتد و بر دقت محاسبات اثر گذار می‌باشد [۶]. این روش حساس به خطاهای اندازه‌گیری می‌باشد و به همین دلیل معروف به مسائل ill-posed می‌باشد. همچنین این روش در گام‌های زمانی کوچک همراه با درصدی خطأ خواهد بود که به دلیل کمبود اطلاعات مورد نیاز جهت تخمین شار حرارتی سطحی می‌باشد. نحوه مدلسازی قطعه کار حین فرآیند سنگزنانی بصورت یک صفحه تحت که تحت شار حرارتی ثابت q_e در هر گام در $x=0$ (سطح سنگزنانی) قرار دارد و در $x=L$ (سطح دیگر قطعه کار) عایق شده است، می‌باشد.

دما در هر گام در اثر تغییر شار حرارتی سطحی در گامهای قبلی می‌باشد زیرا تأخیر و میرایی وجود دارد. پس از چند مرحله ساده‌سازی، رابطه (۲) را می‌توان در فرم ماتریسی و اصلاح شده به صورت رابطه (۳) بازنویسی نمود.

$$T = Xq + \hat{T} \Big|_{q=0} \quad (3)$$

دماهای قطعه کار در هر لحظه برابر است با دمای محیط بعلاوه تغییرات دمایی ناشی از تغییرات شار حرارتی سطحی در گامهای زمانی گذشته که معادله آن عبارتست از:

$$\begin{aligned} T(r, t_M) = & T_0 + q_1 [\phi(r, t_M - \lambda_0) \phi(r, t_M - \lambda_1)] \\ & + q_2 [\phi(r, t_M - \lambda_1) \phi(r, t_M - \lambda_2)] \\ & \vdots \\ & + q_M [\phi(r, t_M - \lambda_M) \phi(r, t_M - \lambda_M)] \end{aligned} \quad (2)$$

در رابطه (۲)، T_0 دمای محیط و ثابت می‌باشد و q_M شار حرارتی در زمان t_M ، r متغیر مکان و $\phi(r, t_M)$ بیانگر تغییر اجزاء مختلف رابطه (۳) عبارتند از:

$$\begin{bmatrix} T_1 \\ T_2 \\ T_3 \\ \vdots \\ T_M \\ T_{M+1} \\ \vdots \\ T_{M+r-1} \end{bmatrix} = \begin{bmatrix} \Delta\phi_0 & & & & & & \\ & \Delta\phi_1 & \Delta\phi_0 & & & & \\ & \Delta\phi_2 & \Delta\phi_1 & \Delta\phi_0 & & & \\ & \vdots & \vdots & \vdots & & & \\ & \Delta\phi_{M-1} & \Delta\phi_{M-2} & \Delta\phi_{M-3} & \cdots & \Delta\phi_0 & \\ & \Delta\phi_M & \Delta\phi_{M-1} & \Delta\phi_{M-2} & \cdots & \Delta\phi_1 & \Delta\phi_0 \\ & \vdots & \vdots & \vdots & \cdots & \cdots & \\ & \Delta\phi_{M+r-2} & \Delta\phi_{M+r-3} & \Delta\phi_{M+r-4} & \cdots & \Delta\phi_{r-1} & \Delta\phi_{r-2} \cdots \Delta\phi_0 \end{bmatrix} \times \begin{bmatrix} q_1 \\ q_2 \\ q_3 \\ \vdots \\ q_M \\ q_{M+1} \\ \vdots \\ q_{M+r-1} \end{bmatrix} + \begin{bmatrix} \hat{T}_M \Big|_{q_M=0} \\ \hat{T}_{M+1} \Big|_{q_M=q_{M+1}=0} \\ \vdots \\ \hat{T}_{M+r-1} \Big|_{q_M=q_{M+1}=0} \end{bmatrix} \quad (4)$$

در اینجا تنها شار حرارتی در سه گام زمانی پیاپی هر بازه صعودی مورد نظر می‌باشد. بنابراین الگوریتم فوق برای سه گام بسط داده شده است.

$$\hat{q}_1 = \frac{y_1 - T_0}{\varphi_1} \quad (6)$$

$$\hat{q}_2 = \frac{y_2 - \hat{q}_1 \Delta\phi_1 - T_0}{\varphi_1} \quad (7)$$

$$\hat{q}_3 = \frac{y_3 - \hat{q}_1 \Delta\phi_2 - \hat{q}_2 \Delta\phi_1 - T_0}{\varphi_1} \quad (8)$$

$$\varphi_i = T^+(t_i^+) \frac{X}{K}, \Delta\phi_1 = \varphi_2 - \varphi_1, \Delta\phi_2 = \varphi_3 - \varphi_2 \quad (9)$$

پس از بدست آمدن شار حرارتی سطحی از الگوریتم استلنز، به کمک معادله رسانش گرمایی:

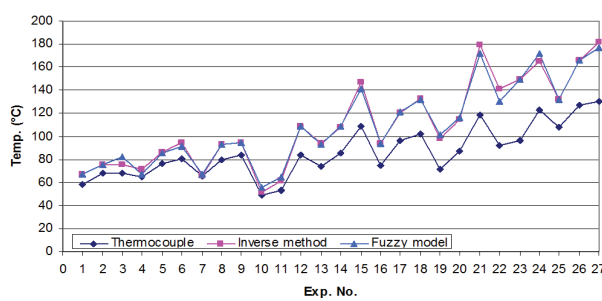
$$\frac{q}{A} = K \frac{\Delta T}{\Delta x} \quad (11)$$

اختلاف دمای سطح سنگزنانی در محل ترموموکوپل و به تبع آن دمای سطح سنگزنانی بدست می‌آید.

برابر است با افزایش دما در محل ترموموکوپل در گام زمانی اول بر اثر افزایش شار حرارتی سطحی به اندازه یک گام زمانی و به همین ترتیب بقیه $\Delta\phi$ ها و T_M برابر دمای اندازه‌گیری شده در زمان t_M می‌باشد که برابر y_M (دمای اندازه‌گیری شده توسط ترموموکوپل) می‌باشد.

$$\hat{q}_M = \frac{y_M - \sum_{n=1}^{M-1} \hat{q}_i \Delta\phi_{M-i} - T_0}{\varphi_1}, \Delta\phi_0 = \varphi_1 - \varphi_0 = \varphi_1 \quad (5)$$

رابطه (۵)، الگوریتم استلنز^۴ نام دارد و در مورد طیف وسیعی از هندسه‌ها کاربرد دارد و خاصیت مهم آن ترتیبی بودن ذاتی آن است، می‌باشد زیرا شار حرارتی در هر گام زمانی که متأثر از شارهای قبلی می‌باشد، به ترتیب گامهای زمانی محاسبه می‌شوند. خاصیت دیگر این الگوریتم، خطی بودن آن نسبت به دمایان اندازه‌گیری شده (y_M ها) می‌باشد.



نمودار (۱): مقایسه دمای سطح سنگزنانی حاصل از روش معکوس، مدل منطق فازی و دمای زیر سطح در محل ترموموکوپل سوم

۴- نتایج

سرعت پیش روی، عمق برشی و دمای سطح سنگزنانی به ترتیب به ۲، ۳ و ۹ مجموعه فازی دسته بندی شده است. محدوده پارامترهای ورودی و خروجی و همچنین نحوه دسته بندی آنها در شکل ۲ نشان داده شده اند. در این دسته بندیها تابع عضویت بکار رفته برای تمام متغیرها از نوع مثلثی با شبیه ثابت می باشد. این دسته بندیها با یکسری حروف مخفف کد بندی شدن. جزئیات این کدهای دسته بندیها در جدول ۲ آورده شده است.

تاریخچه دمایی اندازه گیری شده توسط سه ترموموکوپل در ۲۷ آزمایش به عنوان داده وارد الگوریتم استلز گردید و دمای سطح تخمین زده شد. اندازه گیری دما توسط سه ترموموکوپل انجام گرفت و دلیل آن پایدارتر شدن فرآیند سنگزنانی با گذشت زمان می باشد. به همین جهت ملاک مقایسه بیشتر دمای ترموموکوپل سوم می باشد.

۴-۱- مدل منطق فازی

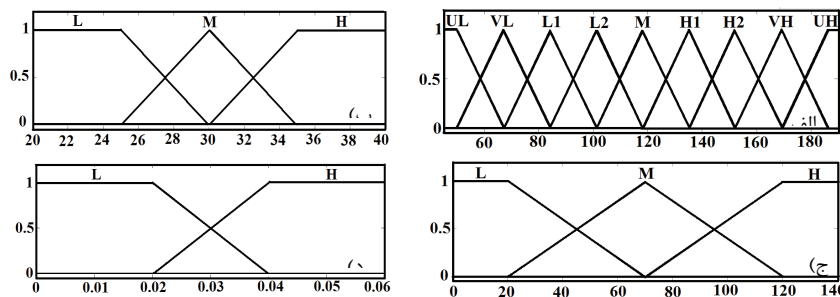
در این مدل سازی از سیستم استنباطی نوع ممدانی نرم افزار Matlab استفاده شد. اطلاعات تجربی سرعت چرخش سنگ،

جدول (۱): مقایسه نتایج حاصل از آموزش مدل منطق فازی با نتایج روش هدایت گرمائی معکوس

مقایسه نتایج	نتایج مدل منطق فازی	نتایج روش هدایت حرارتی معکوس (IHCP)	نتایج آزمایش	مقادیر پارامترهای ماشینکاری متغیر	شماره آزمایش
درصد خطأ	دماي سطح سنگزنانی در محل ترموموکوپل سوم (°C)	دماي سطح سنگزنانی در محل ترموموکوپل سوم (°C)	دماي حس شده توسيط ترموموکوپل (°C)	mm/min)(Vw Vs(m/s) a(mm)	
-۰/۱۴	۶۷	۶۷/۹	۵۸/۳	۰/۰۲	۲۰ ۲۵
۰	۷۵/۸	۷۵/۸	۶۸/۰	۰/۰۲	۲۰ ۳۰
-۷/۷۷	۸۱/۸	۷۵/۹	۷۷/۹	۰/۰۲	۲۰ ۳۵
-۲/۱۳	۶۶/۹	۶۵/۵	۶۵/۷	۰/۰۴	۲۰ ۲۵
۰/۲۱	۹۳	۹۳/۲	۷۹/۸	۰/۰۴	۲۰ ۳۰
۰	۹۵	۹۵/۰	۸۴/۱	۰/۰۴	۲۰ ۳۵
-۷/۹۶	۵۵/۳	۵۱/۷	۴۸/۶	۰/۰۲	۷۰ ۲۵
-۶/۲	۶۵/۱	۶۱/۳	۵۳/۳	۰/۰۲	۷۰ ۳۰
۰	۱۰۹	۱۰۹/۰	۸۳/۶	۰/۰۲	۷۰ ۳۵
۰/۲۱	۹۳/۹	۹۴/۱	۷۴/۵	۰/۰۴	۷۰ ۲۵
-۰/۲۴	۱۲۱	۱۲۰/۷	۹۶/۱	۰/۰۴	۷۰ ۳۰
۰/۳	۱۳۲	۱۳۲/۴	۱۰۱/۹	۰/۰۴	۷۰ ۳۵
-۲/۸۵	۱۰۱	۹۸/۲	۷۱/۰	۰/۰۲	۱۲۰ ۲۵
-۱/۱۳	۱۱۶	۱۱۴/۷	۸۷/۳	۰/۰۲	۱۲۰ ۳۰
۴/۰۱	۱۷۲	۱۷۹/۲	۱۱۸/۷	۰/۰۲	۱۲۰ ۳۵
۰	۱۳۲	۱۳۲/۰	۱۰۸/۰	۰/۰۴	۱۲۰ ۲۵
-۰/۱۸	۱۶۶	۱۶۵/۷	۱۲۷/۳	۰/۰۴	۱۲۰ ۳۰
۲/۴۷	۱۷۷	۱۸۱/۵	۱۲۹/۹	۰/۰۴	۱۲۰ ۳۵
۲/۲۴	میانگین مطلق				

جدول (۲): کدهای دسته بندی

Abbreviation	Expression	Abbreviation	Expression
L	low	UL	ultra low
M	medium	VL	very low
H	high	L	low
		H	high
		VH	very high
		UH	ultra high



شکل (۲): توابع عضویت (الف) دمای سطح ($^{\circ}\text{C}$) ب) سرعت پیشروی (m/s) ج) سرعت چرخش سنگ (m/min) د) عمق برش (mm)

جدول ۳ ارائه شده است. طبق نتایج بدست آمده میانگین خطای مطلق حاصل از مدل پیشنهادی $\frac{3}{14}$ درصد می‌باشد.

جهت تایید صحت مدل فازی ارائه شده با استفاده از ۹ آزمایش باقیمانده، مدل ارائه شده تست شد. نتایج حاصل از تست مدل فازی و مقایسه آن با نتایج روش هدایت حرارتی معکوس در

جدول (۳): مقایسه نتایج حاصل از تست مدل منطق فازی با نتایج روش هدایت گرمائی معکوس

ردیف	شماره آزمایش	مقادیر پارامترهای ماشینکاری متغیر				نتایج آزمایش		نتایج روش هدایت		مقایسه نتایج
		Vw	Vs	a	(mm)	دماهای حس شده	حرارتی معکوس (IHCP)	نتایج مدل منطق فازی	دماهای سطح سنگ زنی در محل ترموموکوپل سوم ($^{\circ}\text{C}$)	
۴	۲۰	۲۵	۰/۰۳			۶۵/۱	۷۱/۳	۶۷	۷/۰۳	
۵	۲۰	۳۰	۰/۰۳			۷۷/۶	۸۶/۲	۸۵/۵	۰/۸۱	
۶	۲۰	۳۵	۰/۰۳			۸۰/۴	۹۴/۵	۹۱/۲	۳/۴۹	
۱۳	۷۰	۲۵	۰/۰۳			۷۴/۲	۹۳/۶	۹۲/۷	۰/۹۶	
۱۴	۷۰	۳۰	۰/۰۳			۸۵/۳	۱۰۸/۲	۱۰۹	۰/۷۴	
۱۵	۷۰	۳۵	۰/۰۳			۱۰۸/۹	۱۴۷	۱۴۱	۴/۰۸	
۲۲	۱۲۰	۳۵	۰/۰۳			۹۲/۴	۱۴۱	۱۳۰	۷/۸	
۲۳	۱۲۰	۲۵	۰/۰۳			۹۶/۱	۱۴۹/۷	۱۴۹	۰/۴۶	
۲۴	۱۲۰	۳۰	۰/۰۳			۱۲۳/۱	۱۶۵/۰	۱۷۲	۳/۹۲	
										میانگین مطلق $\frac{3}{14}$

۶- نتیجه‌گیری

داد که مدل ارائه شده دارای دقت قابل قبولی است. میانگین جمع مطلق خطاهای تست مدل منطق فازی ۳/۱۴ درصد می‌باشد. با استفاده از این مدل، می‌توان پیش‌بینی بسیار دقیقی از دمای سطح سنگزنانی خوشی بدست آورده. از مدل پیشنهادی می‌توان برای بهینه‌سازی پارامترهای کاری فرایند سنگزنانی به منظور جلوگیری از آسیب‌های حرارتی و مونیتورینگ فرایند سنگزنانی استفاده نمود.

پی‌نوشت:

- 1- Creep feed grinding
- 2- Inverse heat conduction problem
- 3- Duhamel
- 4- Stolz

برای محاسبه و پیش‌بینی دمای قطعه کار حین سنگزنانی خوشی پس از اندازه‌گیری تجربی دمای ۲mm زیر سطح و ثبت تاریخچه دمایی، به کمک روش هدایت حرارتی معکوس دمای سطح سنگزنانی محاسبه شد. با توجه به حساسیت روش معکوس به گام‌های زمانی کوچک، یکی از اهداف این تحقیق تعیین اندازه این گام بود که با بررسی نتایج مشخص گردید که در این مدل‌سازی گام‌های زمانی کوچکتر از ۱/۵ ثانیه به عنوان گام زمانی کوچک می‌باشند. در ادامه با استفاده از اطلاعات تجربی و منطق فازی مدلی برای پیش‌بینی دمای سطح سنگزنانی ایجاد گردید. مقایسه نتایج حاصل از آموزش و تست این مدل با مقادیر بدست آمده از روش هدایت حرارتی معکوس نشان

مراجع

- 1- Zhang L.C., Ali Y. M., "A fuzzy model for predicting burns in surface grinding of steel", Machine Tools & Manufacture, Vol 44, 2004, PP 563-571.
- 2- Fuh. K.H, Wang. S.B., " Force Modeling and Forecasting in Creep Feed Grinding Using Improved BP Neural Network", Int J Mach tools manufact, Vol 37, 1997, pp 1167-1178.
- 3- Kuriyagawa, T., Syoiji, K., Ohshita, H., "Grinding temperature within contact arc between wheel and workpiece in high-efficiency grinding of ultrahard cutting tool materials," Journal of Materials Processing Technology, Vol. 136, pp. 39-47, 2003.
- 4-Jin, T., Stephenson, D. J., "Investigation of the heat partitioning in high efficiency deep grinding," International Journal of Machine Tools & Manufacture, Vol. 43, pp. 1129-1134, 2003.
- 5-Kim, H. J., Kim, N. K., Kwak, J. S., "Heat flux distribution model by sequential algorithm of inverse heat transfer for determining workpiece temperature in creep feed grinding," International Journal of Machine Tools & Manufacture, Vol. 46, pp. 2086-2093, 2005.
- 6Nabil Gindy, Qiang Liu, Xun Chen, "Fuzzy pattern recognition of AE signals for grinding burn", Machine Tools & Manufacture, Vol 45, 2005, PP 811-818.
- 7- J.V. Beck , "Inverse Heat Conduction Problem",1985.

